

сообщения
объединенного
института
ядерных
исследований
дубна

Г/25-

13-87-828

О.П.Гаврищук, А.Б.Шалыгин

ИССЛЕДОВАНИЕ
НЕКОТОРЫХ ХАРАКТЕРИСТИК ФЭУ-143
В ПОРОГОВЫХ ГАЗОВЫХ ЧЕРЕНКОВСКИХ
СЧЕТЧИКАХ

1987

I. ВВЕДЕНИЕ

Работа выполнена в связи с созданием многоканального порогового газового черенковского счётчика (МПГЧС) для эксперимента "Меченые нейтрино" [1]. Источником нейтрино являются $K_{\bar{e}3}$ -и $K_{\mu 2}$ -распады заряженных каонов. В распадном объёме поток каонов составляет около 10^9 частиц за цикл ускорителя У-70. Для мечения электронного нейтрино идентифицируются электроны от $K_{\bar{e}3}$ -распадов с помощью МПГЧС.

Идентификация электрона газовым черенковским счётчиком при энергиях 30–40 ГэВ связана с трудностью регистрации малых потоков света.

Количество света в газовом черенковском счётчике от заряженных частиц зависит от длины радиатора и коэффициента рефракции газа. Максимальная интенсивность черенковского света от электрона возможна в случае, когда мюон находится на пороге черенковского излучения. При этом амплитуда сигнала на фотоэлектронном умножителе (ФЭУ) от света электронов определяется по числу фотоэлектронов (N_e) следующим образом:

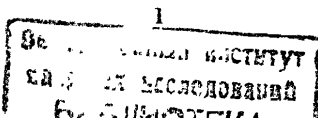
$$N_e = N_0 \cdot L \cdot \frac{m_\nu^2 - m_e^2}{P^2}, \quad (1)$$

где m_ν и m_e – массы ν -и e -лектонов, P – их импульс, L – длина пробега электрона в радиаторе счётчика, N_0 – константа черенковского счётчика, которая определяется по формуле

$$N_0 = 2\pi\alpha \int_{\lambda_1}^{\lambda_2} \frac{\eta(\lambda) \cdot K(\lambda)}{\lambda^2} d\lambda, \quad (2)$$

где $\eta(\lambda)$ – квантовая чувствительность ФЭУ в диапазоне длин волн λ_1 , λ_2 ; $K(\lambda)$ – коэффициент светосбора оптической системы счётчика, $\alpha = I/I_{37}$ – константа электромагнитного взаимодействия.

С помощью несложного расчёта по формулам (1), (2) можно показать, что для частиц (e, ν) с импульсом около 30 ГэВ/с при длине радиатора



20 метров в счетчике с константой $A=100$ л/см на ФЭУ ожидается не более $N_e = 3 \pm 4$ фотоэлектронов. Задача усложняется еще и тем, что длина радиатора переменная, зависит от вершины распада К-мезона, и поэтому число фотоэлектронов будет еще меньше.

Очевидно, что для решения задачи требуются фоторегистраторы, способные выделять одноэлектронные сигналы, обладающие к тому же высоким быстродействием порядка 10^{-7} с и хорошей квантовой чувствительностью в диапазоне длин волн 180–600 нм (для получения константы счётчика > 100).

С целью оптимального выбора типа фотоумножителя порогового газового черенковского счётчика в данной работе проводились измерения некоторых параметров различных ФЭУ, наиболее часто применяемых в черенковских счётчиках. Результаты измерений излагаются ниже.

2. СПЕКТРАЛЬНЫЕ ХАРАКТЕРИСТИКИ ФЭУ

Измерения спектральных характеристик ФЭУ проводились на спектрофотометре СФ-26 токовым методом. Спектрофотометр использовался как источник монохроматического света с длиной волны λ . Измерялся катодный ток ФЭУ, который работал в режиме фотоэлемента (все диоды были объединены с анодом). Так как абсолютная интенсивность света неизвестна, проводились относительные измерения. В качестве образца выбран ФЭУ XP-2020/Q с известной спектральной чувствительностью $S_o(\lambda)$ (согласно паспорту [3]). Спектральные чувствительности $S_x(\lambda)$ исследуемых ФЭУ определяются с помощью фототоков $I_x(\lambda)$ по формуле

$$S_x(\lambda) = S_o(\lambda) \cdot \frac{I_x(\lambda)}{I_o(\lambda)}, \quad (3)$$

где $I_o(\lambda)$ – фототок XP-2020/Q.

Ранее была выполнена работа [2] по расширению диапазона спектральной чувствительности ФЭУ в ультрафиолетовую область с помощью смесителей спектра.

В настоящей работе использовался трехкомпонентный переизлучатель, нанесенный на окно фотокатода ФЭУ в виде полимерной пленки, содержащей компоненты люминофора.

В качестве основы пленки использовался ПММА (полиметил метакрилат – органическое стекло), растворенный в толуоле с концентрацией 13 г/литр. Содержание люминесцентных веществ в слоях составляет в процентах относительно количества ПММА:

- 1 слой – 30% PTP,
- 2 слой – 40% PPO,
- 3 слой – 30% PTP + 40% PPO + 2,5% POPOP.

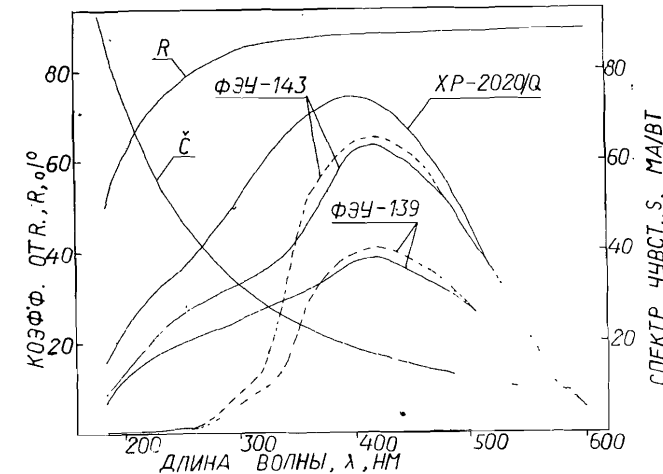


Рис. I

R – коэффициент отражения зеркала,
 \check{C} – спектр черенковского излучения (отн.ед.),
 XP-2020/Q, ФЭУ-139, ФЭУ-143 – спектральные чувствительности фотоумножителей (пунктирная – без переизлучателя, сплошная – с переизлучателем).

На рис. I представлены спектральные чувствительности XP-2020/Q, ФЭУ-139 и ФЭУ-143. Переизлучатель был использован на двух последних ФЭУ. Полученные результаты дают относительную картину об абсолютных значениях $S(\lambda)$. Оценка результатов показывает, что средняя чувствительность ФЭУ-143 около 60 мА/Вт и ФЭУ-139 ~ 50 мА/Вт. Максимальная чувствительность находится в диапазоне 410–430 нм, что характерно для бищелочных фотокатодов ($S_b - Cs - K_a$). При помощи пленочного переизлучателя диапазон чувствительности исследуемых ФЭУ расширяется до 200 нм и по форме приближается к характеристике ФЭУ с кварцевым окном (XP-2020/Q) [3].

3. ОДНОЭЛЕКТРОННЫЕ ХАРАКТЕРИСТИКИ

На рис. 2 приводятся спектры анодных сигналов ФЭУ, которые получены от световых вспышек светодиода АЛ-307 (красный). Диод запускался от генератора при длительности сигнала около 15 наносекунд. Ампли-

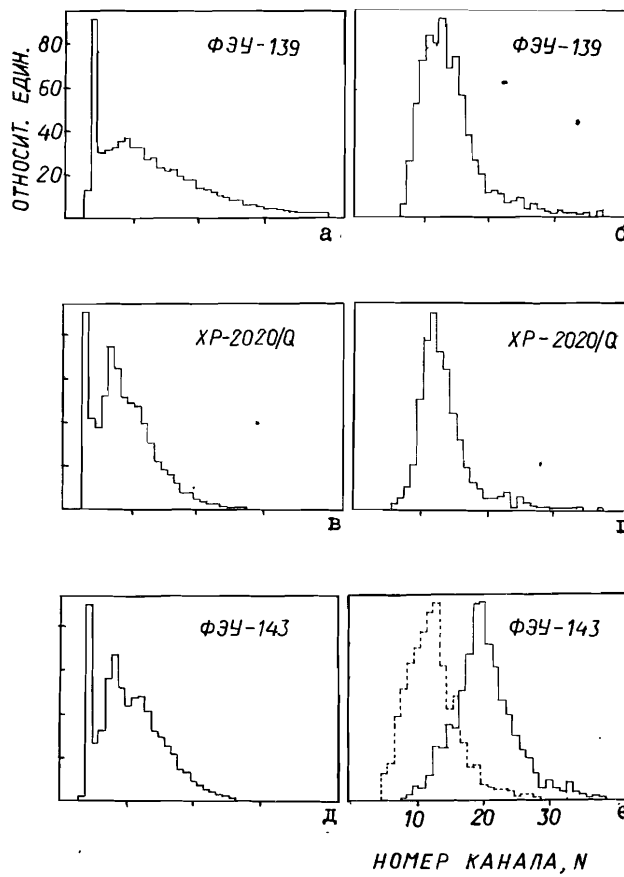


Рис.2

а, в, д - одноэлектронные спектры фотоумножителей,
б, г, е - спектры от черенковского излучения (пунктирная - без переизлучателя, сплошная - с переизлучателем).

туди сигналов измерялись с помощью зарядового кодировщика ЗШ, одиночный режим фиксировался по эффективности регистрации сигналов ($< 60\%$), т.е. соотношением сигналов под пьедесталом и выше пьедестала. Во всех типах ФЭУ были использованы паспортные делители напряжения. Настоящая работа не преследовала цель оптимизации схемы делителя напряжения. Одноэлектронные характеристики ФЭУ-143 в зависимос-

ти от типа делителя напряжения приводятся в работе [4], где показано, что в зависимости от резистора R_3 (оптимум около $0,8 R$) наблюдается небольшое улучшение в разделении одноэлектронных сигналов.

Исследование одноэлектронных характеристик с применением паспортной схемы делителя напряжения свидетельствуют о том, что наиболее четко выделяет одноэлектронный сигнал ФЭУ-143, тем самым создаются возможности качественной дискриминации сигнала от собственных шумов фотоумножителя.

4. ИЗМЕРЕНИЕ КОНСТАНТЫ N_0 НА МАКЕТЕ ЧЕРЕНКОВСКОГО СЧЁТЧИКА

Измерение, схема которого показана на рис.3, проводилось на пучке позитронов методического канала У-70 с использованием макета газового черенковского счётчика. Пучок позитронов с импульсом 3,5 ГэВ/с выделялся при совпадении сцинтилляционных счетчиков S_1, S_2, S_3, S_4 и черенковского счетчика C_1 , одновременно образовывался триггер для запуска ЗШ. Измерялся амплитудный спектр сигналов с анода ФЭУ. Макет черенковского счётчика заполнен воздухом при атмосферном давлении. Зеркало и светосборник изготовлены из алюминизированного майлара. Коэффициент отражения света в зависимости от длины волны показан на рис.1.

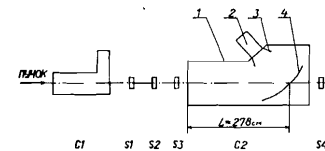


Рис.3

1 - корпус макета черенковского счётчика,
2 - фотоумножитель,
3 - конический светосборник,
4 - зеркало из алюминизированного майлара.

Среднее число фотоэлектронов от черенковского света, излучаемого позитронами в воздухе по всей длине радиатора, определяется по форме спектра сигналов с анода ФЭУ. Для этого проводятся калибровки каждого фотоумножителя со спектрометрическим трактом с помощью светодиода [5]. В случае многоэлектронного сигнала ($N > 10$) при работе

со светодиодом среднее число фотоэлектронов определяется как

$$\bar{N}_e = K \cdot \left(\frac{A}{\theta} \right)^2, \quad (4)$$

где A - центр тяжести спектра, θ - корень квадратный из дисперсии, a

$$K = 1 + 2 + \frac{(m\theta - 1)^2}{m(m-1)},$$

где Q - квантовая чувствительность ФЭУ, m - среднее значение коэффициента вторичной эмиссии динодов, θ - параметр одноэлектронного распределения [6].

Сопоставляя положение центра тяжести спектра сигналов от черенковского излучения с положением центра тяжести спектра, полученным при калибровке, определяли среднее число фотоэлектронов измеряемого процесса. По известному числу фотоэлектронов константа черенковского счётчика определяется как

$$N_o = \frac{\bar{N}_e}{L \cdot \theta^2}, \quad (5)$$

где

$$\theta^2 = 2 \left[(n-1)D - \frac{m^2}{2\rho^2} \right]^{1/2},$$

θ - угол черенковского излучения, $(n-1)$ - коэффициент рефракции газа (воздух), D - давление газа, m - масса электрона, ρ - импульс электрона.

Результаты по определению N_e и N_o приведены в таблице. Применение смеcителей спектра, как видно из таблицы, увеличивает амплитуду сигнала с ФЭУ в среднем в 1,8 раза.

Таблица

Параметр Фотосумматор	U (кВ)	K	\bar{N}_e	N_o (л/см)
XP-2020/Q	2,4	1,58	19,4	126±10
ФЭУ-139 (с переизлучателем)	1,4	1,59	14,5	95±10
ФЭУ-143 (без переизлучателя)	2,3	1,41	10	65±10
ФЭУ-143 (с переизлучателем)	2,3	1,41	18	118±10

I) Выражение справедливо для малых значений θ .

5. ЗАКЛЮЧЕНИЕ

На макете МПГЧС экспериментально исследованы спектрометрические характеристики фотоумножителей XP-2020/Q, ФЭУ-139 и ФЭУ-143. Показано, что ФЭУ-143 с переизлучателем по своим характеристикам близок к XP-2020/Q и вполне может быть использован для МПГЧС установки комплекса "Меченные нейтрино".

Улучшая качество оптической системы черенковского счётчика, подбирая ФЭУ с чувствительностями 70-80 лА/Вт, можно получить константу $N_o \sim 100 \pm 150$ л/см.

В заключение авторы приносят благодарность сотрудникам Серпуховского научно-экспериментального отдела Шумакову М.Н. за он-лайн обеспечение измерений, Григалашвили Т.С. за поддержку работы и обсуждение результатов измерения.

ЛИТЕРАТУРА

- Денисов С.П. Пучки меченых нейтрино - новый шаг в методике нейтринных исследований. М.: Изд-во МИФИ, 1984.
- Гавришук О.П., Семенов В.К. Препринт ИФВЭ, 84-46, 1984, Серпухов.
- Philips Data Handbook, Electron tubes, part 9, June, 1980.
- Архангельский Б.В., Добрынин В.И. и др. Препринт ИФВЭ, 87-41, 1987, Серпухов.
- Коллар Д. и др. Сообщение ОИЯИ 13-9003, 1975, Дубна.
- J.R.Prescott. NIM, 39 (1966), p.173-179.

Рукопись поступила в издательский отдел
23 ноября 1987 года.

НЕТ ЛИ ПРОБЕЛОВ В ВАШЕЙ БИБЛИОТЕКЕ?

Вы можете получить по почте перечисленные ниже книги,
если они не были заказаны ранее.

Д7-83-644	Труды Международной школы-семинара по физике тяжелых ионов. Алушта, 1983.	6 р.55 к.
Д2,13-83-689	Труды рабочего совещания по проблемам излучения и детектирования гравитационных волн. Дубна, 1983.	2 р.00 к.
Д13-84-63	Труды XI Международного симпозиума по ядерной электронике. Братислава, Чехословакия, 1983.	4 р.50 к.
Д2-84-366	Труды 7 Международного совещания по проблемам квантовой теории поля. Алушта, 1984.	4 р.30 к.
Д1,2-84-599	Труды VII Международного семинара по проблемам физики высоких энергий. Дубна, 1984.	5 р.50 к.
Д10,11-84-818	Труды V Международного совещания по проблемам математического моделирования, программирования и математическим методам решения физических задач. Дубна, 1983.	3 р.50 к.
Д17-84-850	Труды III Международного симпозиума по избранным проблемам статистической механики. Дубна, 1984./2 тома/	7 р.75 к.
Д11-85-791	Труды Международного совещания по аналитическим вычислениям на ЭВМ и их применению в теоретической физике. Дубна. 1985.	4 р.00 к.
Д13-85-793	Труды XII Международного симпозиума по ядерной электронике. Дубна, 1985.	4 р.80 к.
Д4-85-851	Труды Международной школы по структуре ядра. Алушта, 1985.	3 р.75 к.
Д3,4,17-86-747	Труды V Международной школы по нейтронной физике. Алушта, 1986.	4 р.50 к.
-	Труды IX Всесоюзного совещания по ускорителям заряженных частиц. Дубна, 1984. /2 тома/	13 р.50 к.
Д1,2-86-668	Труды VIII Международного семинара по проблемам физики высоких энергий. Дубна, 1986. /2 тома/	7 р.35 к.
Д9-87-105	Труды X Всесоюзного совещания по ускорителям заряженных частиц. Дубна, 1986. /2 тома/	13 р.45 к.
Д7-87-68	Труды Международной школы-семинара по физике тяжелых ионов. Дубна, 1986	7 р.10 к.
Д2-87-123	Труды Совещания "Ренормгруппа-86". Дубна, 1986	4 р.45 к.

Заказы на упомянутые книги могут быть направлены по адресу:
101000 Москва, Главпочтamt, п/я 79. Издательский отдел Объединенного
института ядерных исследований.

Гаврищук О.П., Шалыгин А.Б.

13-87-828

Исследование некоторых характеристик ФЭУ-143
в пороговых газовых черенковских счетчиках

Исследован фотоумножитель ФЭУ-143 в газовом пороговом черенковском счетчике на пучке электронов с импульсом 3,5 ГэВ/с. Приведена сравнительная характеристика с ФЭУ-139 и ХР-2020/Q. В результате измерений определены спектральные характеристики фотоумножителей, показаны их одноэлектронные спектры. Определена константа счетчика для ФЭУ-143 ~ 118 1/см, для ФЭУ-139 ~ 95 1/см, для ХР-2020/Q ~ 126 1/см, которая характеризует оптические свойства счетчика. Показано применение на ФЭУ-143 и ФЭУ-139 пленочных преобразователей ультрафиолетового излучения, которые увеличивают амплитуду сигнала с ФЭУ в 1,8 раза.

Работа выполнена в Серпуховском научно-экспериментальном отделе ОИЯИ.

Сообщение Объединенного института ядерных исследований. Дубна 1987

Перевод О.С.Виноградовой

Gavrihchyuk O.P., Shalygin A.B.

13-87-828

Investigation of Some Characteristics of FEU-143

Photomultipliers in Gaseous Threshold Cherenkov Counters

The FEU143 photomultiplier was studied in a gaseous Cherenkov counter at the electron beam of 3.5 GeV/c momentum. Comparative characteristic with FEU-139 and XP-2020/Q is presented. As a result of measurements spectral characteristics of photomultipliers were defined, their one-electron spectra were shown. Constant of counter for FEU-143 was determined as 118 1/cm, for FEU-13 as 95 1/cm, for XP-2020/Q as 126 1/cm. It characterizes the optical properties of the counter. Using on FEU-143 and FEU-139 of ultraviolet radiation film shifters which increase the amplitude of FEU signal by a factor of 1.8 is shown.

The investigation has been performed at the Serpikov Scientific-Experimental Department, JINR.

Communication of the Joint Institute for Nuclear Research. Dubna 1987